

УДК 548.736+549.613

## ВЫРАЩИВАНИЕ, СТРУКТУРНО-МОРФОЛОГИЧЕСКИЕ ОСОБЕННОСТИ И НЕКОТОРЫЕ СВОЙСТВА МОНОКРИСТАЛЛОВ ТВЕРДЫХ РАСТВОРОВ КВАРЦА И ОКСИДА ГЕРМАНИЯ СО СТРУКТУРОЙ КВАРЦА

© 2004 г. В. С. Балицкий, Д. В. Балицкий, А. Н. Некрасов, Л. В. Балицкая,  
Г. В. Бондаренко, О. Л. Самохвалова

Представлено академиком А.А. Маракушевым 12.01.2004 г.

Поступило 19.01.2004 г.

Интерес к выращиванию монокристаллов твердых растворов кварца и оксида германия со структурой низкотемпературного кварца ( $\alpha\text{-Si}_x\text{Ge}_{1-x}\text{O}_2$ ) связан с проблемой получения новых кварцеподобных материалов, обладающих по сравнению с кварцем более высокими значениями пьезоэлектрических констант и температур фазового  $\alpha \rightarrow \beta$ -перехода. Наиболее перспективными среди подобных материалов являются, как известно [1], берлинит ( $\text{AlPO}_4$ ) и ортофосфат галлия ( $\text{GaPO}_4$ ). Однако выращивание их сопряжено с большими техническими трудностями, связанными главным образом с отсутствием естественных затравок: берлинит образует в природных условиях только очень тонкозернистые агрегаты, а ортофосфат галлия не встречается вообще. Кроме того, при их выращивании используются весьма агрессивные среды (ортофосфорная и серная кислоты), которые в условиях повышенных температур и давлений существенно усложняют и удорожают кристаллизационное оборудование.

Перспективность кристаллов  $\alpha\text{-Si}_x\text{Ge}_{1-x}\text{O}_2$  как нового пьезоэлектрического материала стала очевидной после осуществления выращивания достаточно крупных монокристаллов оксида германия со структурой кварца ( $\alpha\text{-GeO}_2$ ) и определения его пьезоэлектрических констант [2, 3]. Они оказались выше, чем у берлинита, и близкими к таковому ортофосфата галлия. Однако сами кристаллы  $\alpha\text{-GeO}_2$  были весьма несовершенными и содержали молекулярную воду, поскольку выращивались в метастабильной области при температурах ниже  $180^\circ\text{C}$  [4, 5]. При более высоких температурах вырастить их было невозможно из-за перехода шихтового  $\alpha\text{-GeO}_2$  в трудно раствори-

мую тетрагональную фазу ( $\beta\text{-GeO}_2$ ). Вместе с тем из фазовой диаграммы системы  $\text{SiO}_2\text{-GeO}_2$  следует, что при температурах  $700\text{--}750^\circ\text{C}$  в присутствии незначительного количества воды образуются твердые растворы  $\alpha\text{-Si}_x\text{Ge}_{1-x}\text{O}_2$  с содержанием оксида германия до 31 мол. % [6]. Это уже само по себе указывает на принципиальную возможность выращивания их монокристаллов в гидротермальных условиях. Пьезоэлектрические константы таких кристаллов должны возрастать по мере увеличения в них доли германия, подобно тому, как это происходит с оптическими константами и температурами полиморфного  $\alpha \rightarrow \beta$ -перехода [7].

В первых кристаллах кварца, выращенных в присутствии германия, содержание последнего не превышало нескольких десятых долей мас. % [8, 9]. Однако позднее было показано, что существуют принципиальные возможности повысить содержание германия в кварце до 10–12 мас. % [1, 10]. Это стимулировало дальнейшее проведение подобных исследований, основные результаты которых приводятся в представленной работе.

Выращивание кристаллов  $\alpha\text{-Si}_x\text{Ge}_{1-x}\text{O}_2$  осуществлялось гидротермальным методом температурного перепада в автоклавах объемом 50 и 280 мл, изготовленных из Cr–Ni-сплава марки ЭИ-437Б. В качестве минерализаторов использовались химреактивы  $\text{NaOH}$ ,  $\text{Na}_2\text{CO}_3$  и  $\text{NH}_4\text{F}$ . Концентрацию щелочных растворов варьировали от 1 до 7.5 мас. %, а фторидных – от 5 до 8 мас. %. Затравками служили пластинки и стержни, вырезанные из синтетического кварца, параллельно граням пинакоида  $\{c\}$ , отрицательного  $\{z\}$  и положительного  $\{r\}$  ромбоэдра, тригональной призмы  $\{x\}$ , гексагональной призмы  $\{m\}$  и тригональной дипирамиды  $\{s\}$ . Размеры затравочных пластин и стержней составляли  $2 \times 4\text{--}8 \times 50\text{--}210$  мм. Затравки крепились на металлических рамках в верхней зоне автоклава. Шихту готовили из обломков или стержней синтетического кварца и помещали на дно авто-

Институт экспериментальной минералогии  
Российской Академии наук,  
Черноголовка Московской обл.



**Рис. 1.** Монокристаллы  $\alpha\text{-Si}_x\text{Ge}_{1-x}\text{O}_2$  (длина нижнего кристалла 50 мм), выращенные в растворах NaOH (вверху) и  $\text{NH}_4\text{F}$  (внизу) при температуре  $700^\circ\text{C}$  и давлении порядка 180 МПа.

клава. Туда же загружали порошковидный оксид германия при весовых соотношениях  $\text{GeO}_2 : \text{SiO}_2$  от 1 : 20 до 1 : 2. Большинство опытов проводилось при наличии в автоклаве перфорированной диафрагмы, разделяющей его на две равные зоны: верхнюю – зону роста кристаллов, и нижнюю – зону шихты. Для повышения информативности опытов часть их проводилась при отсутствии диафрагмы с размещением затравочных пластинок на всю длину автоклава. Это позволяло выращивать так называемые клиновидные кристаллы со скоростями роста от нуля до максимально возможных при заданных условиях роста [11]. Автоклавы устанавливались в групповые электрические печи с двухсекционными или односекционными нагревателями. Продолжительность опытов составляла от 14 до 30 сут. Давление в автоклавах оценивали по коэффициентам заполнения с использованием  $P$ - $V$ - $T$ -диаграмм для исходных или близких к ним по составу растворов [12], а в случае отсутствия таковых – по  $P$ - $V$ - $T$ -данным для чистой воды [13]. Контроль температуры осуществляли с помощью стандартных термоизмерительных приборов с точностью  $\pm 1^\circ\text{C}$ . Опыты проводили при температурах от  $270$  до  $720^\circ\text{C}$  и давлениях соответственно от 10–180 МПа. Разница температур между нижним и верхним торцами автоклава составляла от 10 до  $30^\circ\text{C}$ . Внешняя морфология и внутреннее строение выращенных кристаллов изучались под бинокулярным (МБС-9) и поляризационным (Amplival po-d) микроскопами. Оптические характеристики определяли на столике Федорова и в иммерсионных жидкостях. Содержание и распределение кремния и германия в кристаллах устанавливали путем локального анализа с использованием микрозонда “CamScan” MV2300, MBX с энерго-дисперсионным спектрометром Link-860. Параметры элементарной ячейки рассчитывали на основе рентгенограмм, полученных порошковым методом на дифрактометре

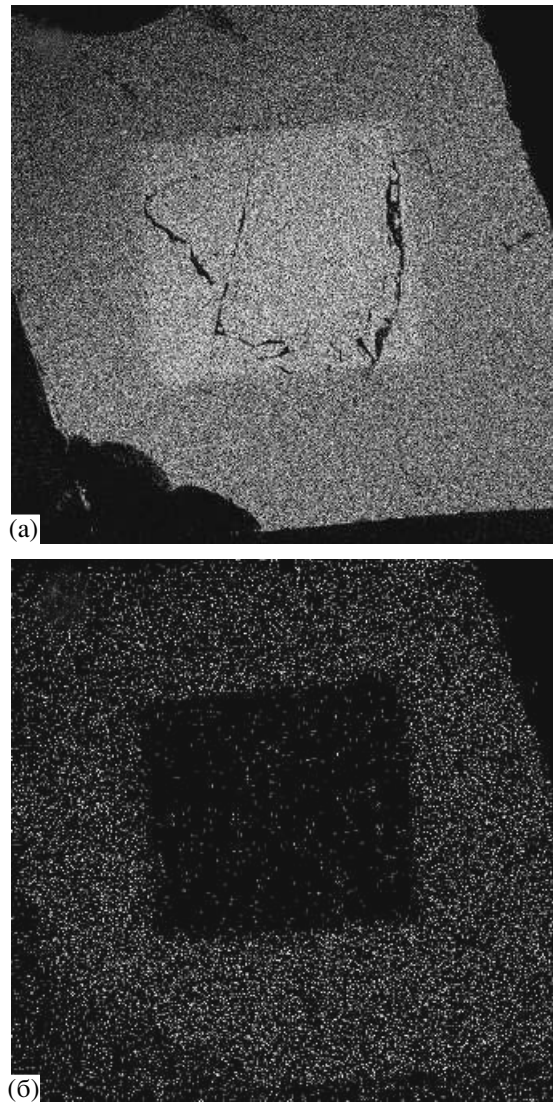
АДП2-01, тип анода Co (длина волны  $1.79021 \text{ \AA}$ ). ИК- и рамановские спектры записывались соответственно на спектрометрах Avitar-FT-IR, Nicolet и RM1000, Renishaw. Фазовые переходы изучали на приборе “Thermal System” DTA TAG 24S16 “Sataram”. Основные пьезоэлектрические константы оценивали путем экстраполяции, полагая, что изменения их прямолинейно связаны с содержанием в кристаллах  $\text{GeO}_2$ .

В результате проведенных работ были выращены кристаллы твердых растворов  $\alpha\text{-Si}_x\text{Ge}_{1-x}\text{O}_2$  с содержанием  $\text{GeO}_2$  от 0.98 до 38.78 мас. % (рис. 1). Внешняя морфология кристаллов практически не отличается от морфологии кристаллов, выращенных в аналогичных условиях, но при отсутствии германия. Вместе с тем установлено, что по мере увеличения в кристаллах содержания германия происходит выравнивание скоростей роста основных ромбоэдров, и начинает расти гексагональная призма. Наибольшей морфологической устойчивостью у кристаллов, выращенных как в щелочных, так и фторидных растворах, характеризуются грани основных ромбоэдров и гексагональной призмы, хотя нередко они подвергаются дофинейскому и бразильскому двойникованию. Остальные грани являются неустойчивыми и замещаются совокупностью плотно примыкающих друг к другу регенерационных пирамидок, образованных гранями  $\{r\}$  и  $\{m\}$  (щелочные растворы) и гранями  $\{+s\}$ ,  $\{+x\}$  и  $\{-x\}$  (фторидные растворы). При этом в секторах роста  $\langle c \rangle$  кристаллов, выращенных в щелочных растворах, образуются многочисленные незарощенные игловидные полости и газово-жидкие включения. У кристаллов, выращенных во фторидных растворах, хотя грани  $\{c\}$ ,  $\{+x\}$ ,  $\{+s\}$  и  $\{-x\}$  также имеют регенерационный рельеф, соответствующие сектора роста сохраняют однородность в широком диапазоне  $TP$ -параметров. Другим макродефектом кристаллов  $\alpha\text{-Si}_x\text{Ge}_{1-x}\text{O}_2$  является проявленная в них в той или иной степени трещиноватость. Трещинки ориентированы в основном параллельно ромбоэдрическим граням. В морфологическом отношении они отличаются от так называемых сотовых трещин, связанных с  $\alpha \leftrightarrow \beta$ -трансформацией кварца. Их возникновение является результатом рядки напряжений, связанных с несоответствием параметров элементарных ячеек беспримесного кварца затравки и выросшего германийсодержащего слоя.

Установлено, что наибольшее влияние на содержание германия в кристаллах  $\alpha\text{-Si}_x\text{Ge}_{1-x}\text{O}_2$  оказывают температура и скорость их роста. Так, при равном соотношении кварца и оксида германия в шихте повышение температуры роста кристаллов от  $400$  до  $700^\circ\text{C}$  (давление порядка 150 МПа) приводит к увеличению содержания в них  $\text{GeO}_2$  от 0.98 до 22.3 мас. % (щелочные растворы) и от 6.6 до

38.78 мас. % (фторидные растворы). В клиновидном кристалле, выращенном во фторидных растворах на базисной затравке при температуре 615°C и давлении порядка 150 МПа со скоростями роста нижнего и верхнего торцов 0.05 и 0.12 мм/сут, содержания GeO<sub>2</sub> составили соответственно 7.02 и 16.39 мас. %.

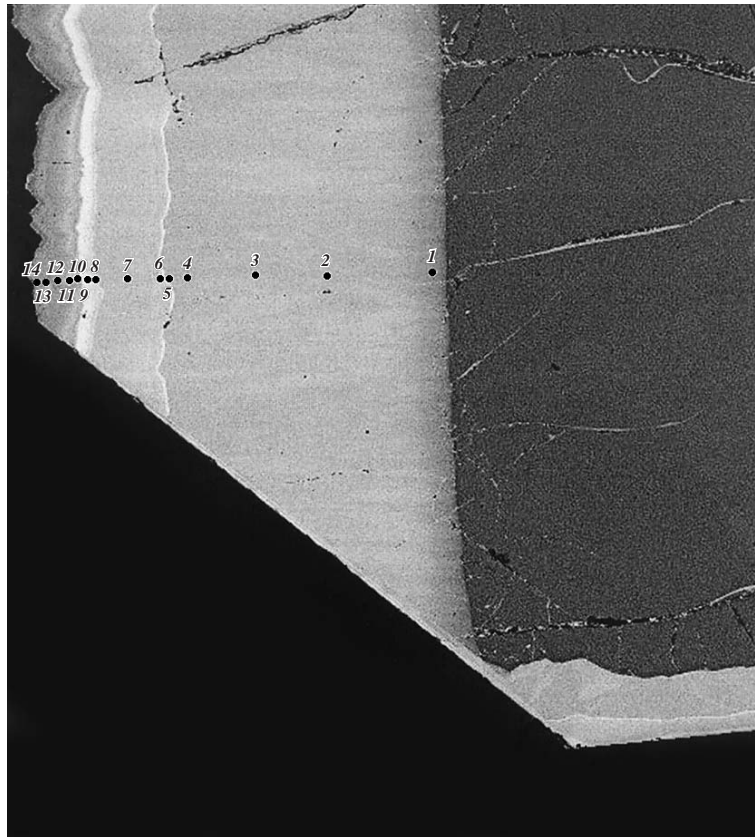
Анализ распределения германия в выращенных кристаллах показал, что максимальные содержания его отмечаются в секторах роста  $\langle z \rangle$  и  $\langle r \rangle$ ; минимальные – в секторах  $\langle m \rangle$ . Сектора роста  $\langle c \rangle$ ,  $\langle +s \rangle$ ,  $\langle +x \rangle$  и  $\langle -x \rangle$  занимают в этом отношении промежуточное положение. Это подчеркивает секториальный характер распределения германия в кристаллах, хотя в целом содержания его в различных зонах и секторах роста отличаются не более чем на 1–3 мас. %. Эти различия отчетливо проявляются на картах распределения кремния и германия в отраженных электронах и характеристических излучениях кремния  $K_{\alpha}$  и германия  $K_{\alpha}$  (рис. 2, 3). В кристаллах, выращенных в щелочных и фторидных растворах, наиболее равномерное распределение германия отмечается в секторах роста  $\langle z \rangle$  и  $\langle r \rangle$ , не подверженных двойникованию и вырождению. Вместе с тем в секторах роста  $\langle c \rangle$ ,  $\langle +s \rangle$  и  $\langle +x \rangle$  кристаллов, выращенных во фторидных растворах, наблюдается “струйчатый” характер распределения германия, связанный с регенерационным механизмом их роста (см. рис. 3). Параметры элементарной ячейки кристаллов  $\alpha\text{-Si}_x\text{Ge}_{1-x}\text{O}_2$  закономерно возрастают по мере увеличения в них содержания германия и достигают, например, при 24 мас. % GeO<sub>2</sub> значений:  $a = 4.9233$  и  $c = 5.4240$  Å (для сравнения, в обычном синтетическом кварце  $a = 4.9131$  и  $c = 5.4050$  Å). При этом также возрастают показатели преломления кристаллов:  $n_0$  до 1.562 и  $n_e$  до 1.572 (в обычном кварце они соответственно равны 1.553 и 1.544). ИК-спектры поглощения кристаллов  $\alpha\text{-Si}_x\text{Ge}_{1-x}\text{O}_2$  обнаруживают большее сходство со спектром кварца и заметно отличаются от спектров  $\alpha\text{-GeO}_2$  как по числу полос, так и положению их максимумов. Однако в отличие от чистого кварца в ИК-спектрах кристаллов  $\alpha\text{-Si}_x\text{Ge}_{1-x}\text{O}_2$  появляются две новые полосы поглощения с максимумами вблизи 1010 и 930 см<sup>-1</sup> и исчезают две полосы с максимумами вблизи 695 и 513 см<sup>-1</sup>. Это может быть связано с колебаниями несимметричного мостика Si–O–Ge, который должен возникать при замещении кремния германием. В рамановских спектрах кристаллов, содержащих более 12 мас. % GeO<sub>2</sub>, практически все полосы комбинационного рассеяния смещаются на 10–15 см<sup>-1</sup> в область коротковолновых колебаний. Это, вероятно, обусловлено также появлением мостиковых связей Si–O–Ge. Температура полиморфного  $\alpha \rightarrow \beta$ -превращения кристаллов  $\alpha\text{-Si}_x\text{Ge}_{1-x}\text{O}_2$  также закономерно возрастает по мере увеличения в них содержания герма-



**Рис. 2.** Карта распределения кремния и германия в монокристалле твердого раствора кварца и оксида германия со структурой кварца, выращенном на стержневидной ромбоэдрической затравке. Изображение в характеристическом рентгеновском излучении Si  $K_{\alpha_1}$  (а) и Ge  $K_{\alpha_1}$  (б).

ния и для кристаллов с формулой  $\alpha\text{-Si}_{0.7}\text{Ge}_{0.3}\text{O}_2$  она составила 840°C, т. е. повысилась по сравнению с обычным кварцем на 267°C. Основные пьезоэлектрические константы  $d_{11}$  и  $d_{14}$  таких кристаллов возросли примерно в два раза.

Таким образом, проведенные исследования свидетельствуют о возможности выращивания в гидротермальных растворах монокристаллов твердых растворов кварца и оксида германия со структурой кварца с высоким содержанием германия. Температурная устойчивость и пьезоэлектрические константы выращенных кристаллов существенно выше, чем у обычного кварца, и приближа-



**Рис. 3.** Распределение германия в кристалле  $\text{Si}_x\text{Ge}_{1-x}\text{O}_2$ . Фрагмент пластинки ZY-ориентации. Изображение в отраженных электронах. Темно-серое поле, справа – кварцевая затравка (толщина 2 мм). Содержание  $\text{GeO}_2$  в нарощенном слое (мас. %): 1 – 14.35; 2 – 21.21; 3 – 22.53; 4 – 22.58; 5 – 36.44; 6 – 25.76; 7 – 23.43; 8 – 30.35; 9 – 38.78; 10 – 19.74; 11 – 23.90; 12 – 16.38; 13 – 15.50; 14 – 9.32.

ются к таковым берлинита и ортофосфата галлия. Дальнейшие исследования должны быть сосредоточены на выращивании более совершенных кристаллов и увеличении в них доли германия.

Работа поддержана РФФИ (грант 03–02–16613).

#### СПИСОК ЛИТЕРАТУРЫ

1. Синтез минералов. Александров: ВНИИСИМС, 2000. Т. 1. С. 662.
2. Balitsky D.V., Balitsky V.S., Puscharovsky D.Yu. et al. // J. Cryst. Growth. 1997. № 180. P. 212–219.
3. Балицкий Д.В., Балицкий В.С., Писаревский Ю.В. и др. // Кристаллография. 2000. Т. 45. № 1. С. 151–153.
4. Roy H., Theokritoff S. // J. Cryst. Growth. 1972. V. 12. № 1. P. 69–72.
5. Косова Т.Б., Демьянец Л.Н. В сб.: Рост кристаллов. М.: Наука, 1988. Т. 19. С. 73–87.
6. Glinneman O., King H.E., Schulz H. et al. // Z. Kristallogr. 1992. Bd. 198. P. 177–212.
7. Дэна Дж.Д., Дэна Э.С., Фрондель К. Система минералогии. Т. 3. Минералы кремнезема. М.: Мир, 1966. С. 430.
8. Балицкий В.С., Цинобер Л.И., Самойлович М.И., Зубкова Е.И. // Геохимия. 1969. № 4. С. 421–427.
9. Цинобер Л.И., Самойлович М.И., Гордиенко Л.А. // Кристаллография. 1965. Т. 10. № 6. С. 879–883.
10. Балицкий В.С., Сорокина С.Л., Чичагов А.С., Бондаренко Г.В. В кн.: Экспериментальные проблемы геологии. М.: Наука, 1994. С. 742.
11. Балицкий В.С., Балицкая Л.В., Марьина Е.А., Беллименко Л.Д. Тр. V Междунар. конф. “Кристаллы: рост, свойства, реальная структура, применение”. Александров: ВНИИСИМС, 2001. Т. 2. С. 294–304.
12. Самойлович Л.И. Зависимости между давлением, температурой и плотностью водно-солевых растворов. М.: ВНИИСИМС, 1969. С. 48.
13. Наумов Г.Б., Рыженко Б.Н., Ходаковский И.Л. Справочник термодинамических величин. М.: Атомиздат, 1971. С. 240.